

Решение системы уравнений для вязкого
теплопроводного идеального газа

Solving the system of equations of a viscous
heat-conducting ideal gas

Содержание

1. Постановка задачи	2
2. Разностная схема	4
3. Отладочный тест	12
4. Отладочный тест: результаты в таблицах	14
5. Вложенные сетки	22
6. Задача протекания	24
7. Задача протекания: результаты в таблицах	27
8. Заключение	30
Список литературы	31

1. Постановка задачи

Рассмотрим систему уравнений, описывающую движение вязкого теплопроводного газа в двумерном случае:

$$\begin{cases} \frac{\partial \rho}{\partial t} + \operatorname{div}(\rho \mathbf{u}) = 0 \\ \rho \left[\frac{\partial \mathbf{u}}{\partial t} + (\mathbf{u}, \nabla) \mathbf{u} \right] + \nabla p = L \mathbf{u} + \rho f \\ c_v \rho \left[\frac{\partial \theta}{\partial t} + (\mathbf{u}, \nabla \theta) \right] = \kappa \Delta \theta - p \operatorname{div} \mathbf{u} - \frac{2}{3} \mu (\operatorname{div} \mathbf{u})^2 + 2 \mu D : D \end{cases}$$

где неизвестными являются: функция скорости $u = u(x, t)$, плотности $\rho = \rho(x, t)$, температуры $\theta = \theta(x, t)$, $(x, t) \in [0, X] \times [0, T]$, где $x = (x_1, x_2)$. Давление записывается выражением $p = R \rho \theta$, R - универсальная газовая постоянная. κ -теплопроводность, c_v -теплоёмкость, μ -коэффициент вязкости являются известными положительными константами. $\kappa = 0.023$ кДж/(с*м*К), $c_v = 1.3$ кДж/(кг*К), $R = 0.00831$ кДж/(моль*К).

$$L \mathbf{u} \equiv \operatorname{div}(\mu \nabla \mathbf{u}) + \frac{1}{3} \mu \nabla (\operatorname{div} \mathbf{u}),$$

D - линейный тензор деформаций Коши-Грина: $D_{ij} = \frac{1}{2} \left(\frac{\partial u_i}{\partial x_j} + \frac{\partial u_j}{\partial x_i} \right)$

Начальные условия:

$$(\rho, u, \theta)|_{t=0} = (\rho_0, u_0, \theta_0)$$

Краевые условия:

$$u(t, x) = 0, \theta(t, x) = \tilde{\theta}(t, x), (t, x) \in [0, T] \times \partial \Omega.$$

Введём на пространстве следующую сетку:

Разбиение по $[0, X]$: $\omega_{h_k} = \{m h_k \mid m = 0, \dots, M_k\}$, $M_k h_k = X_k$, $k = 1, 2$

Разбиение по $[0, T]$: $\omega_\tau = \{n \tau \mid n = 0, \dots, N\}$, $N \tau = T$

Таким образом сетка на всей области Q задаётся следующим образом:

$$Q_{\tau, h} = \omega_\tau \times \Omega_h = \omega_\tau \times \prod_{k=1}^2 \omega_{h_k}$$

Определим ниже скалярные произведения и нормы сеточных функций, которые будут использованы в дальнейшем:

$$(u, v) = \prod_{k=1}^2 h_k \sum_{x_m \in \Omega_h} u_m v_m, \quad [u, v] = (u, v) + 0.5 \prod_{k=1}^2 h_k \sum_{x_m \in \gamma_h} u_m v_m,$$

$$\|v\|_{C_h} = \max_{x_m \in \bar{\Omega}_h} |v_m|, \quad \|v\|_{L_2} = \sqrt{(v, v)}, \quad |[v]| = \sqrt{[v, v]}, \quad \|v\|_2^1 = \sqrt{|[v]|^2 + |v|_1^2},$$

$$|v|_1 = \sqrt{\prod_{k=1}^2 h_k \sum_{k=1}^2 \sum_{x_m \in \Omega_h} (v_{x_k})^2}$$

Поделим уравнения системы на ρ и сделаем замену $g = \ln \rho$. Получаем:

$$\begin{cases} \frac{\partial g}{\partial t} + (\mathbf{u}, \nabla g) + \operatorname{div} \mathbf{u} = 0 \\ \frac{\partial \mathbf{u}}{\partial t} + (\mathbf{u}, \nabla) \mathbf{u} + \tilde{p}'(g) = e^{-g} L \mathbf{u} + f, \\ c_v \left[\frac{\partial \theta}{\partial t} + (\mathbf{u}, \nabla \theta) \right] = e^{-g} \left(\kappa \triangle \theta - \frac{2}{3} \mu (\operatorname{div} \mathbf{u})^2 + 2\mu D : D \right) - R\theta \operatorname{div} \mathbf{u} \end{cases}$$

где $\tilde{p}'(g) = \frac{\partial p}{\partial \rho}(e^g, \theta) \nabla g + \frac{\partial p}{\partial \theta}(e^g, \theta) \nabla \theta$.

Начальные и краевые условия:

$$(g, u, \theta)|_{t=0} = (g_0, u_0, \theta_0),$$

$$u(t, x) = 0, \quad \theta(t, x) = \tilde{\theta}(t, x), \quad (t, x) \in [0, T] \times \partial\Omega.$$

Прежде, чем писать разностные схемы, распишем конфективные слагаемые:

$$\begin{aligned} (\mathbf{u}, \nabla g) &= 0.5((\mathbf{u}, \nabla g) + \operatorname{div}(g\mathbf{u})) - 0.5g(\operatorname{div} \mathbf{u}), \\ (\mathbf{u}, \nabla) \mathbf{u} &= \sum_{k=1}^2 \left[\frac{1}{3} \left(u_k \frac{\partial u_k}{\partial x_k} + \frac{\partial u_k^2}{\partial x_k} \right) + \frac{1}{2} \sum_{l=1, l \neq k}^2 \left(u_l \frac{\partial u_k}{\partial x_l} + \frac{\partial u_l u_k}{\partial x_l} - u_k \frac{\partial u_l}{\partial x_l} \right) \right], \\ (\mathbf{u}, \nabla \theta) &= 0.5((\mathbf{u}, \nabla \theta) + \operatorname{div}(\theta \mathbf{u})) - 0.5\theta(\operatorname{div} \mathbf{u}) \\ D &= \begin{pmatrix} \frac{\partial u_1}{\partial x_1} & \frac{1}{2} \left(\frac{\partial u_1}{\partial x_2} + \frac{\partial u_2}{\partial x_1} \right) \\ \frac{1}{2} \left(\frac{\partial u_2}{\partial x_1} + \frac{\partial u_1}{\partial x_2} \right) & \frac{\partial u_2}{\partial x_2} \end{pmatrix} \\ D : D &= \left(\frac{\partial u_1}{\partial x_1} \right)^2 + \left(\frac{\partial u_2}{\partial x_2} \right)^2 + \left(\frac{\partial u_1}{\partial x_2} + \frac{\partial u_2}{\partial x_1} \right)^2 \end{aligned}$$

2. Разностная схема

Теперь можно приступить к написанию разностных схем, сопоставляя неизвестным функциям g , u , θ сеточные функции G , V , T . В данной работе предлагается частично явная схема, в которой для сеточной функции плотности выполняется условие положительности, а само сеточное решение на каждом временном шаге является решением двух СЛАУ:

$$\left\{ \begin{array}{l} G_t + 0.5 \sum_{k=1}^2 \left(V_k \hat{G}_{x_k}^o + (V_k \hat{G})_{x_k}^o - G(V_k)_{x_k}^o + 2(\hat{V}_k)_{x_k}^o \right) = 0, \quad x \in \Omega_h \\ G_t + 0.5 \left((V_k \hat{G})_{x_k} - G(V_k)_{x_k} + 2(\hat{V}_k)_{x_k} \right) + \\ - 0.5 \left(h_k \left((GV_k)_{x_k \bar{x}_k}^{+1_k} - 0.5(GV_k)_{x_k \bar{x}_k}^{+2_k} + (2 - G)((V_k)_{x_k \bar{x}_k}^{+1_k} - 0.5(V_k)_{x_k \bar{x}_k}^{+2_k}) \right) \right) = 0, \\ x \in \gamma_k^-, k = 1, 2 \\ G_t + 0.5 \left((V_k \hat{G})_{x_k} - G(V_k)_{x_k} + 2(\hat{V}_k)_{x_k} \right) + \\ + 0.5 \left(h_k \left((GV_k)_{x_k \bar{x}_k}^{-1_k} - 0.5(GV_k)_{x_k \bar{x}_k}^{-2_k} + (2 - G)((V_k)_{x_k \bar{x}_k}^{-1_k} - 0.5(V_k)_{x_k \bar{x}_k}^{-2_k}) \right) \right) = 0, \\ x \in \gamma_k^+, k = 1, 2 \\ (V_k)_t + \frac{1}{3} \left(V_k(\hat{V}_k)_{x_k}^o + (V_k \hat{V}_k)_{x_k}^o \right) + \frac{1}{2} \sum_{l=1, l \neq k}^2 \left(V_l(\hat{V}_k)_{x_l}^o + (V_l \hat{V}_k)_{x_l}^o - V_k(V_l)_{x_l}^o \right) + \\ + RT \hat{G}_{x_k}^o + RT_{x_k}^o = \tilde{\mu} \left(\frac{4}{3}(\hat{V}_k)_{x_k \bar{x}_k} + \sum_{l=1, l \neq k}^2 (\hat{V}_k)_{x_l \bar{x}_l} \right) - \\ - (\tilde{\mu} - \mu e^{-G}) \left(\frac{4}{3}(\hat{V}_k)_{x_k \bar{x}_k} + \sum_{l=1, l \neq k}^2 (\hat{V}_k)_{x_l \bar{x}_l} \right) + \frac{\mu e^{-G}}{3} \sum_{l=1, l \neq k}^2 (V_l)_{x_k x_l}^o + f_k, \\ k = 1, 2; \quad x \in \Omega_h \\ \hat{V}_k = 0, \quad x \in \gamma_h, \quad k = 1, 2. \\ c_v \left(T_t + 0.5 \sum_{k=1}^2 \left(\hat{V}_k \hat{T}_{x_k}^o + (\hat{V}_k \hat{T})_{x_k}^o - T(\hat{V}_k)_{x_k}^o \right) \right) = \\ = \tilde{\kappa} \sum_{k=1}^2 \left(\hat{T}_{x_k \bar{x}_k} \right) + \sum_{k=1}^2 (\kappa e^{-G} - \tilde{\kappa}) (T_{x_k \bar{x}_k}) - \\ - \sum_{k=1}^2 \left(RT(\hat{V}_k)_{x_k}^o + \frac{2}{3} \mu e^{-\hat{G}} (\hat{V}_k)_{x_k}^2 + \frac{2}{3} \mu e^{-\hat{G}} \sum_{l=1, l \neq k}^2 ((\hat{V}_k)_{x_k}^o (\hat{V}_l)_{x_l}^o) \right) + \\ + 2\mu e^{-G} \sum_{k=1}^2 \left((\hat{V}_k)_{x_k}^2 + 0.5 \left(\sum_{l=1, l \neq k}^2 (\hat{V}_k)_{x_l}^o + (\hat{V}_l)_{x_k}^o \right)^2 \right), \quad x \in \Omega_h, \end{array} \right.$$

где $\tilde{\kappa} = \|\kappa e^{-G}\|$, $\tilde{\mu} = \|\mu e^{-G}\|$.

Уравнения на слой вышеуказанной разностной схемы примут следующий вид:

$$\begin{aligned}
& \frac{\hat{G}_{m_1, m_2} - G_{m_1, m_2}}{\tau} + \frac{1}{2} \left(V_{1, m_1, m_2} \frac{\hat{G}_{m_1+1, m_2} - \hat{G}_{m_1-1, m_2}}{2h_1} + V_{2, m_1, m_2} \frac{\hat{G}_{m_1, m_2+1} - \hat{G}_{m_1, m_2-1}}{2h_2} \right) + \\
& + \frac{1}{2} \left(\frac{V_{1, m_1+1, m_2} \hat{G}_{m_1+1, m_2} - V_{1, m_1-1, m_2} \hat{G}_{m_1-1, m_2}}{2h_1} + \frac{V_{2, m_1, m_2+1} \hat{G}_{m_1, m_2+1} - V_{2, m_1, m_2-1} \hat{G}_{m_1, m_2-1}}{2h_2} \right) - \\
& - \frac{1}{2} \left(G_{m_1, m_2} \frac{V_{1, m_1+1, m_2} - V_{1, m_1-1, m_2}}{2h_1} + G_{m_1, m_2} \frac{V_{2, m_1, m_2+1} - V_{2, m_1, m_2-1}}{2h_2} \right) + \\
& + \left(\frac{\hat{V}_{1, m_1+1, m_2} - \hat{V}_{1, m_1-1, m_2}}{2h_1} + \frac{\hat{V}_{2, m_1, m_2+1} - \hat{V}_{2, m_1, m_2-1}}{2h_2} \right) = 0, \quad (2.1) \\
& x = (m_1 h_1, m_2 h_2) \in \Omega_h
\end{aligned}$$

$$\begin{aligned}
& \frac{\hat{G}_{0, m_2} - G_{0, m_2}}{\tau} + \frac{1}{2} \left(\frac{V_{1, m_2} \hat{G}_{1, m_2} - V_{1, 0, m_2} \hat{G}_{0, m_2}}{h_1} \right) - \frac{G_{0, m_2}}{2} \left(\frac{V_{1, m_2} - V_{1, 0, m_2}}{h_1} \right) + \left(\frac{\hat{V}_{1, m_2} - \hat{V}_{1, 0, m_2}}{h_1} \right) + \\
& + \frac{h_1}{2} \left(\frac{G_{2, m_2} V_{1, m_2} - 2G_{1, m_2} V_{1, m_2} + G_{0, m_2} V_{1, 0, m_2}}{h_1^2} - 0.5 \frac{G_{3, m_2} V_{1, m_2} - 2G_{2, m_2} V_{1, m_2} + G_{1, m_2} V_{1, m_2}}{h_1^2} \right) + \\
& + \frac{h_1}{2} (2 - G_{0, m_2}) \left(\frac{V_{1, m_2} - 2V_{1, m_2} + V_{1, 0, m_2}}{h_1^2} - 0.5 \frac{V_{1, m_2} - 2V_{1, m_2} + V_{1, 0, m_2}}{h_1^2} \right) = 0, \quad (2.2) \\
& \mathbf{x} \in \gamma_1^-
\end{aligned}$$

$$\begin{aligned}
& \frac{\hat{G}_{M_1, m_2} - G_{M_1, m_2}}{\tau} + \frac{1}{2} \left(\frac{V_{1, M_1, m_2} \hat{G}_{M_1, m_2} - V_{1, M_1-1, m_2} \hat{G}_{M_1-1, m_2}}{h_1} \right) - \frac{G_{M_1, m_2}}{2} \left(\frac{V_{1, M_1, m_2} - V_{1, M_1-1, m_2}}{h_1} \right) + \\
& + \left(\frac{\hat{V}_{1, M_1, m_2} - \hat{V}_{1, M_1-1, m_2}}{h_1} \right) + \quad (2.3) \\
& + \frac{h_1}{2} \frac{G_{M_1, m_2} V_{1, M_1, m_2} - 2G_{M_1-1, m_2} V_{1, M_1-1, m_2} + G_{M_1-2, m_2} V_{1, M_1-2, m_2}}{h_1^2} - \\
& - 0.25h_1 \frac{G_{M_1-1, m_2} V_{1, M_1-1, m_2} - 2G_{M_1-2, m_2} V_{1, M_1-2, m_2} + G_{M_1-3, m_2} V_{1, M_1-3, m_2}}{h_1^2} + \\
& + \frac{h_1}{2} (2 - G_{M_1, m_2}) \left(\frac{V_{1, M_1, m_2} - 2V_{1, M_1-1, m_2} + V_{1, M_1-2, m_2}}{h_1^2} - 0.5 \frac{V_{1, M_1-1, m_2} - 2V_{1, M_1-2, m_2} + V_{1, M_1-3, m_2}}{h_1^2} \right) = 0, \\
& \mathbf{x} \in \gamma_1^+
\end{aligned}$$

$$\begin{aligned}
& \frac{\hat{G}_{m_1,0}-G_{m_1,0}}{\tau} + \frac{1}{2} \left(\frac{V_{2m_1,1}\hat{G}_{m_1,1}-V_{2m_1,0}\hat{G}_{m_1,0}}{h_2} \right) - \frac{G_{m_1,0}}{2} \left(\frac{V_{2m_1,1}-V_{2m_1,0}}{h_2} \right) + \left(\frac{\hat{V}_{2m_1,1}-\hat{V}_{2m_1,0}}{h_2} \right) + \\
& + \frac{h_2}{2} \left(\frac{G_{m_1,2}V_{2m_1,2}-2G_{m_1,1}V_{2m_1,1}+G_{m_1,0}V_{2m_1,0}}{h_2^2} - 0.5 \frac{G_{m_1,3}V_{2m_1,3}-2G_{m_1,2}V_{2m_1,2}+G_{m_1,1}V_{2m_1,1}}{h_2^2} \right) + \\
& + \frac{h_2}{2} (2 - G_{m_1,0}) \left(\frac{V_{2m_1,2}-2V_{2m_1,1}+V_{2m_1,0}}{h_2^2} - 0.5 \frac{V_{2m_1,3}-2V_{2m_1,2}+V_{2m_1,1}}{h_2^2} \right) = 0, \quad (2.4)
\end{aligned}$$

$\mathbf{x} \in \gamma_2^-$

$$\begin{aligned}
& \frac{\hat{G}_{m_1,M_2}-G_{m_1,M_2}}{\tau} + \frac{1}{2} \left(\frac{V_{2m_1,M_2}\hat{G}_{m_1,M_2}-V_{2m_1,M_2-1}\hat{G}_{m_1,M_2-1}}{h_2} \right) - \frac{G_{m_1,M_2}}{2} \left(\frac{V_{2m_1,M_2}-V_{2m_1,M_2-1}}{h_2} \right) + \\
& \left(\frac{\hat{V}_{2m_1,M_2}-\hat{V}_{2m_1,M_2-1}}{h_2} \right) + \\
& + \frac{h_2}{2} \frac{G_{m_1,M_2}V_{2m_1,M_2}-2G_{m_1,M_2-1}V_{2m_1,M_2-1}+G_{m_1,M_2-2}V_{2m_1,M_2-2}}{h_2^2} - \\
& - 0.25h_2 \frac{G_{m_1,M_2-1}V_{2m_1,M_2-1}-2G_{m_1,M_2-2}V_{2m_1,M_2-2}+G_{m_1,M_2-3}V_{2m_1,M_2-3}}{h_2^2} + \\
& + \frac{h_1}{2} (2 - G_{m_1,M_2}) \left(\frac{V_{2m_1,M_2}-2V_{2m_1,M_2-1}+V_{2m_1,M_2-2}}{h_2^2} - 0.5 \frac{V_{2m_1,M_2-1}-2V_{2m_1,M_2-2}+V_{2m_1,M_2-3}}{h_2^2} \right), \quad (2.5)
\end{aligned}$$

$\mathbf{x} \in \gamma_2^+$

$$\begin{aligned}
& \frac{\hat{V}_{1m_1,m_2}-V_{1m_1,m_2}}{\tau} + \frac{1}{3} \left(V_{1m_1,m_2} \frac{\hat{V}_{1m_1+1,m_2}-\hat{V}_{1m_1-1,m_2}}{2h_1} + \frac{V_{1m_1+1,m_2}\hat{V}_{1m_1+1,m_2}-V_{1m_1-1,m_2}\hat{V}_{1m_1-1,m_2}}{2h_1} \right) + \\
& + \frac{1}{2} \left(V_{2m_1,m_2} \frac{\hat{V}_{1m_1,m_2+1}-\hat{V}_{1m_1,m_2-1}}{2h_2} + \frac{V_{2m_1,m_2+1}\hat{V}_{1m_1,m_2+1}-V_{2m_1,m_2-1}\hat{V}_{1m_1,m_2-1}}{2h_2} \right) - \\
& - \frac{1}{2} \left(V_{1m_1,m_2} \frac{V_{2m_1,m_2+1}-V_{2m_1,m_2-1}}{2h_2} \right) + RT_{m_1,m_2} \frac{\hat{G}_{m_1+1,m_2}-\hat{G}_{m_1-1,m_2}}{2h_1} + R \frac{T_{m_1+1,m_2}-T_{m_1-1,m_2}}{2h_1} = \\
& = \tilde{\mu} \left(\frac{4}{3} \frac{\hat{V}_{1m_1+1,m_2}-2\hat{V}_{1m_1,m_2}+\hat{V}_{1m_1-1,m_2}}{h_1^2} + \frac{\hat{V}_{1m_1,m_2+1}-2\hat{V}_{1m_1,m_2}+\hat{V}_{1m_1,m_2-1}}{h_2^2} \right) - \\
& - (\tilde{\mu} - \mu e^{-\hat{G}_{m_1,m_2}}) \left(\frac{4}{3} \frac{V_{1m_1+1,m_2}-2V_{1m_1,m_2}+V_{1m_1-1,m_2}}{h_1^2} + \frac{V_{1m_1,m_2+1}-2V_{1m_1,m_2}+V_{1m_1,m_2-1}}{h_2^2} \right) + \\
& + \frac{\mu e^{-\hat{G}_{m_1,m_2}}}{3} \frac{V_{2m_1+1,m_2+1}-V_{2m_1+1,m_2-1}-V_{2m_1-1,m_2+1}+V_{2m_1-1,m_2-1}}{4h_1h_2} + f_{1m_1,m_2}, \quad (2.6)
\end{aligned}$$

$\mathbf{x} \in \Omega_h$

$$\begin{aligned}
& \frac{\hat{V}_{2m1,m2} - V_{2m1,m2}}{\tau} + \frac{1}{3} \left(V_{2m1,m2} \frac{\hat{V}_{2m1,m2+1} - \hat{V}_{2m1,m2-1}}{2h_2} + \frac{V_{2m1,m2+1} \hat{V}_{2m1,m2+1} - V_{2m1,m2-1} \hat{V}_{2m1,m2-1}}{2h_2} \right) + \\
& + \frac{1}{2} \left(V_{1m1,m2} \frac{\hat{V}_{2m1+1,m2} - \hat{V}_{2m1-1,m2}}{2h_1} + \frac{V_{1m1+1,m2} \hat{V}_{2m1+1,m2} - V_{1m1-1,m2} \hat{V}_{2m1-1,m2}}{2h_1} \right) - \\
& - \frac{1}{2} \left(V_{2m1,m2} \frac{V_{1m1+1,m2} - V_{1m1-1,m2}}{2h_1} \right) + RT_{m1,m2} \frac{\hat{G}_{m1,m2+1} - \hat{G}_{m1,m2-1}}{2h_2} + R \frac{T_{m1,m2+1} - T_{m1,m2-1}}{2h_2} = \\
& = \tilde{\mu} \left(\frac{4}{3} \frac{\hat{V}_{2m1,m2+1} - 2\hat{V}_{2m1,m2} + \hat{V}_{2m1,m2-1}}{h_2^2} + \frac{\hat{V}_{2m1+1,m2} - 2\hat{V}_{2m1,m2} + \hat{V}_{2m1-1,m2}}{h_1^2} \right) - \\
& - (\tilde{\mu} - \mu e^{-\hat{G}_{m1,m2}}) \left(\frac{4}{3} \frac{V_{2m1,m2+1} - 2V_{2m1,m2} + V_{2m1,m2-1}}{h_2^2} + \frac{V_{2m1+1,m2} - 2V_{2m1,m2} + V_{2m1-1,m2}}{h_1^2} \right) + \\
& + \frac{\mu e^{-\hat{G}_{m1,m2}}}{3} \frac{V_{1m1+1,m2+1} - V_{1m1+1,m2-1} - V_{1m1-1,m2+1} + V_{1m1-1,m2-1}}{4h_1 h_2} + f_{2m1,m2}, \quad (2..7)
\end{aligned}$$

$\mathbf{x} \in \Omega_h$

$$\begin{aligned}
& c_v \frac{\hat{T}_{m1,m2} - T_{m1,m2}}{\tau} + 0.5c_v \left(\hat{V}_1 \frac{\hat{T}_{m1+1,m2} - \hat{T}_{m1-1,m2}}{2h_1} + \hat{V}_2 \frac{\hat{T}_{m1,m2+1} - \hat{T}_{m1,m2-1}}{2h_2} \right) + \\
& + 0.5c_v \left(\frac{\hat{V}_{1m1+1,m2} \hat{T}_{m1+1,m2} - \hat{V}_{1m1-1,m2} \hat{T}_{m1-1,m2}}{2h_1} + \frac{\hat{V}_{2m1,m2+1} \hat{T}_{m1,m2+1} - \hat{V}_{2m1,m2-1} \hat{T}_{m1,m2-1}}{2h_2} \right) - \\
& - 0.5c_v T_{m1,m2} \left(\frac{\hat{V}_{1m1+1,m2} - \hat{V}_{1m1-1,m2}}{2h_1} + \frac{\hat{V}_{2m1,m2+1} - \hat{V}_{2m1,m2-1}}{2h_2} \right) = \\
& = \tilde{\kappa} \left(\frac{\hat{T}_{m1+1,m2} - 2\hat{T}_{m1,m2} + \hat{T}_{m1-1,m2}}{h_1^2} + \frac{\hat{T}_{m1,m2+1} - 2\hat{T}_{m1,m2} + \hat{T}_{m1,m2-1}}{h_2^2} \right) + \\
& + (\kappa e^{-\hat{G}_{m1,m2}} - \tilde{\kappa}) \left(\frac{T_{m1+1,m2} - 2T_{m1,m2} + T_{m1-1,m2}}{h_1^2} + \frac{T_{m1,m2+1} - 2T_{m1,m2} + T_{m1,m2-1}}{h_2^2} \right) + \\
& - RT_{m1,m2} \left(\frac{\hat{V}_{1m1+1,m2} - \hat{V}_{1m1-1,m2}}{2h_1} + \frac{\hat{V}_{2m1,m2+1} - \hat{V}_{2m1,m2-1}}{2h_2} \right) - \\
& - \frac{2}{3} \mu e^{-\hat{G}_{m1,m2}} \left(\left(\frac{\hat{V}_{1m1+1,m2} - \hat{V}_{1m1-1,m2}}{2h_1} \right)^2 + \left(\frac{\hat{V}_{2m1,m2+1} - \hat{V}_{2m1,m2-1}}{2h_2} \right)^2 \right) - \\
& - \frac{4}{3} \mu e^{-\hat{G}_{m1,m2}} \frac{\hat{V}_{1m1+1,m2} - \hat{V}_{1m1-1,m2}}{2h_1} \frac{\hat{V}_{2m1,m2+1} - \hat{V}_{2m1,m2-1}}{2h_2} + \\
& + 2\mu e^{-\hat{G}_{m1,m2}} \left(\left(\frac{\hat{V}_{1m1+1,m2} - \hat{V}_{1m1-1,m2}}{2h_1} \right)^2 + \left(\frac{\hat{V}_{2m1,m2+1} - \hat{V}_{2m1,m2-1}}{2h_2} \right)^2 \right) + \\
& + 2\mu e^{-\hat{G}_{m1,m2}} \left(\frac{\hat{V}_{2m1+1,m2} - \hat{V}_{2m1-1,m2}}{2h_1} + \frac{\hat{V}_{1m1,m2+1} - \hat{V}_{1m1,m2-1}}{2h_2} \right)^2, \quad (2..8)
\end{aligned}$$

$\mathbf{x} \in \Omega_h$

$$\hat{V}_k = 0, \mathbf{x} \in \gamma_k^-, \hat{V}_k = 0, \mathbf{x} \in \gamma_k^+, k = 1, 2$$

$$\hat{T} = \theta_{\gamma^-}(\mathbf{x}, t), \mathbf{x} \in \gamma^-; \hat{T} = \theta_{\gamma^+}(\mathbf{x}, t), \mathbf{x} \in \gamma^+$$

Напишем коэффициенты при слагаемых с верхнего слоя и выражение в правых частях из каждого уравнения:

$$1. \hat{G}_{m1,m2} : 1$$

$$\hat{G}_{m1-1,m2} : -\frac{\tau}{4h_1}(V_{1m1,m2} + V_{1m1-1,m2})$$

$$\hat{G}_{m1+1,m2} : \frac{\tau}{4h_1}(V_{1m1,m2} + V_{1m1+1,m2})$$

$$\hat{G}_{m1,m2-1} : -\frac{\tau}{4h_2}(V_{2m1,m2} + V_{2m1,m2-1})$$

$$\hat{G}_{m1,m2+1} : \frac{\tau}{4h_2}(V_{2m1,m2} + V_{2m1,m2+1})$$

$$\hat{V}_{1m1-1,m2} : -\frac{\tau}{2h_1}$$

$$\hat{V}_{2m1,m2-1} : -\frac{\tau}{2h_2}$$

$$\hat{V}_{1m1+1,m2} : \frac{\tau}{2h_1}$$

$$\hat{V}_{2m1,m2+1} : \frac{\tau}{2h_2}$$

$$d[m1, m2] : G_{m1,m2} + \frac{\tau}{2} \left(G_{m1,m2} \frac{V_{1m1+1,m2} - V_{1m1-1,m2}}{2h_1} + G_{m1,m2} \frac{V_{2m1,m2+1} - V_{2m1,m2-1}}{2h_2} \right)$$

$$2. \hat{G}_{0,m2} : (1 - \frac{\tau}{2h_1} V_{10,m2})$$

$$\hat{G}_{1,m2} : \frac{\tau}{2h_1} V_{11,m2}$$

$$\hat{V}_{10,m2} : -\frac{\tau}{h_1}$$

$$\hat{V}_{11,m2} : \frac{\tau}{h_1}$$

$$d[0, m2] : G_{0,m2} + \tau \frac{G_{0,m2}}{2} \left(\frac{V_{11,m2} - V_{10,m2}}{h_1} \right) - \\ - \frac{\tau h_1}{2} \left(\frac{G_{2,m2} V_{12,m2} - 2G_{1,m2} V_{11,m2} + G_{0,m2} V_{10,m2}}{h_1^2} - 0.5 \frac{G_{3,m2} V_{13,m2} - 2G_{2,m2} V_{12,m2} + G_{1,m2} V_{11,m2}}{h_1^2} \right) - \\ \frac{\tau h_1}{2} (2 - G_{0,m2}) \left(\frac{V_{12,m2} - 2V_{11,m2} + V_{10,m2}}{h_1^2} - 0.5 \frac{V_{13,m2} - 2V_{12,m2} + V_{11,m2}}{h_1^2} \right)$$

$$3. \hat{G}_{M1,m2} : (1 + \frac{\tau}{2h_1} V_{1M1,m2})$$

$$\hat{G}_{M1-1,m2} : -\frac{\tau}{2h_1} V_{1M1-1,m2}$$

$$\hat{V}_{1M1-1,m2} : -\frac{\tau}{h_1}$$

$$\hat{V}_{1M1,m2} : \frac{\tau}{h_1}$$

$$d[M1, m2] : G_{M1,m2} + \tau \frac{G_{M1,m2}}{2} \left(\frac{V_{1M1,m2} - V_{1M1-1,m2}}{h_1} \right) - \\ - \frac{\tau h_1}{2} \frac{G_{M1,m2} V_{1M1,m2} - 2G_{M1-1,m2} V_{1M1-1,m2} + G_{M1-2,m2} V_{1M1-2,m2}}{h_1^2} + \\ + 0.25\tau h_1 \frac{G_{M1-1,m2} V_{1M1-1,m2} - 2G_{M1-2,m2} V_{1M1-2,m2} + G_{M1-3,m2} V_{1M1-3,m2}}{h_1^2} - \\ - \frac{\tau h_1}{2} (2 - G_{M1,m2}) \left(\frac{V_{1M1,m2} - 2V_{1M1-1,m2} + V_{1M1-2,m2}}{h_1^2} - 0.5 \frac{V_{1M1-1,m2} - 2V_{1M1-2,m2} + V_{1M1-3,m2}}{h_1^2} \right)$$

$$4. \hat{G}_{m1,0} : (1 - \frac{\tau}{2h_2} V_{2m1,0})$$

$$\hat{G}_{m1,1} : \frac{\tau}{2h_2} V_{2m1,1}$$

$$\begin{aligned}
\hat{V}_{2m1,0} &: -\frac{\tau}{h_2} \\
\hat{V}_{2m1,1} &: \frac{\tau}{h_2} \\
d[m1,0] &: G_{m1,0} + \tau \frac{G_{m1,0}}{2} \left(\frac{V_{2m1,1} - V_{2m1,0}}{h_2} \right) - \\
&- \tau \frac{h_2}{2} \left(\frac{G_{m1,2}V_{2m1,2} - 2G_{m1,1}V_{2m1,1} + G_{m1,0}V_{2m1,0}}{h_2^2} - 0.5 \frac{G_{m1,3}V_{2m1,3} - 2G_{m1,2}V_{2m1,2} + G_{m1,1}V_{2m1,1}}{h_2^2} \right) - \\
&\tau \frac{h_2}{2} (2 - G_{m1,0}) \left(\frac{V_{2m1,2} - 2V_{2m1,1} + V_{2m1,0}}{h_2^2} - 0.5 \frac{V_{2m1,3} - 2V_{2m1,2} + V_{2m1,1}}{h_2^2} \right)
\end{aligned}$$

$$\begin{aligned}
5. \hat{G}_{m1,M2} &: (1 + \frac{\tau}{2h_2} V_{2m1,M2}) \\
\hat{G}_{m1,M2-1} &: -\frac{\tau}{2h_2} V_{2m1,M2-1} \\
\hat{V}_{2m1,M2-1} &: -\frac{\tau}{h_2} \\
\hat{V}_{2m1,M2} &: \frac{\tau}{h_2} \\
d[m1, M2] &: G_{m1,M2} + \tau \frac{G_{m1,M2}}{2} \left(\frac{V_{2m1,M2} - V_{2m1,M2-1}}{h_2} \right) - \\
&- \tau \frac{h_2}{2} \frac{G_{m1,M2}V_{2m1,M2} - 2G_{m1,M2-1}V_{2m1,M2-1} + G_{m1,M2-2}V_{2m1,M2-2}}{h_2^2} + \\
&+ 0.25\tau h_2 \frac{G_{m1,M2-1}V_{2m1,M2-1} - 2G_{m1,M2-2}V_{2m1,M2-2} + G_{m1,M2-3}V_{2m1,M2-3}}{h_2^2} - \\
&- \tau \frac{h_1}{2} (2 - G_{m1,M2}) \left(\frac{V_{2m1,M2} - 2V_{2m1,M2-1} + V_{2m1,M2-2}}{h_2^2} - 0.5 \frac{V_{2m1,M2-1} - 2V_{2m1,M2-2} + V_{2m1,M2-3}}{h_2^2} \right)
\end{aligned}$$

$$\begin{aligned}
6. \hat{V}_{1m1,m2} &: 1 + \frac{8\tau\tilde{\mu}}{3h_1^2} + \frac{2\tau\tilde{\mu}}{h_2^2} \\
\hat{V}_{1m1+1,m2} &: \frac{\tau}{6h_1} V_{1m1,m2} + \frac{\tau}{6h_1} V_{1m1+1,m2} - \frac{4\tau\tilde{\mu}}{3h_1^2} \\
\hat{V}_{1m1-1,m2} &: -\frac{\tau}{6h_1} V_{1m1,m2} - \frac{\tau}{6h_1} V_{1m1-1,m2} - \frac{4\tau\tilde{\mu}}{3h_1^2} \\
\hat{V}_{1m1,m2+1} &: \frac{\tau}{4h_2} V_{2m1,m2} + \frac{\tau}{4h_2} V_{2m1,m2+1} - \frac{\tau\tilde{\mu}}{h_2^2} \\
\hat{V}_{1m1,m2-1} &: -\frac{\tau}{4h_2} V_{2m1,m2} - \frac{\tau}{4h_2} V_{2m1,m2-1} - \frac{\tau\tilde{\mu}}{h_2^2} \\
\hat{G}_{m1-1,m2} &: -RT_{m1,m2} \frac{\tau}{2h_1} \\
\hat{G}_{m1+1,m2} &: RT_{m1,m2} \frac{\tau}{2h_1}
\end{aligned}$$

$$\begin{aligned}
7. \hat{V}_{2m1,m2} &: 1 + \frac{8\tau\tilde{\mu}}{3h_2^2} + \frac{2\tau\tilde{\mu}}{h_1^2} \\
\hat{V}_{2m1,m2+1} &: \frac{\tau}{6h_2} V_{2m1,m2} + \frac{\tau}{6h_2} V_{2m1,m2+1} - \frac{4\tau\tilde{\mu}}{3h_2^2} \\
\hat{V}_{2m1,m2-1} &: -\frac{\tau}{6h_2} V_{2m1,m2} - \frac{\tau}{6h_2} V_{2m1,m2-1} - \frac{4\tau\tilde{\mu}}{3h_2^2} \\
\hat{V}_{2m1+1,m2} &: \frac{\tau}{4h_1} V_{1m1,m2} + \frac{\tau}{4h_1} V_{1m1+1,m2} - \frac{\tau\tilde{\mu}}{h_1^2} \\
\hat{V}_{2m1-1,m2} &: -\frac{\tau}{4h_1} V_{1m1,m2} - \frac{\tau}{4h_1} V_{1m1-1,m2} - \frac{\tau\tilde{\mu}}{h_1^2} \\
\hat{G}_{m1,m2-1} &: -RT_{m1,m2} \frac{\tau}{2h_2} \\
\hat{G}_{m1,m2+1} &: RT_{m1,m2} \frac{\tau}{2h_2}
\end{aligned}$$

$$\begin{aligned}
8. \quad \hat{T}_{m1,m2} &: c_v + \frac{2\tau\tilde{\kappa}}{h_1^2} + \frac{2\tau\tilde{\kappa}}{h_2^2} \\
\hat{T}_{m1+1,m2} &: c_v \frac{\tau}{4h_1} (\hat{V}_{1m1,m2} + \hat{V}_{1m1+1,m2}) - \frac{\tau\tilde{\kappa}}{h_1^2} \\
\hat{T}_{m1-1,m2} &: -c_v \frac{\tau}{4h_1} (\hat{V}_{1m1,m2} + \hat{V}_{1m1-1,m2}) - \frac{\tau\tilde{\kappa}}{h_1^2} \\
\hat{T}_{m1,m2+1} &: c_v \frac{\tau}{4h_2} (\hat{V}_{2m1,m2} + \hat{V}_{2m1,m2+1}) - \frac{\tau\tilde{\kappa}}{h_2^2} \\
\hat{T}_{m1,m2-1} &: -c_v \frac{\tau}{4h_2} (\hat{V}_{2m1,m2} + \hat{V}_{2m1,m2-1}) - \frac{\tau\tilde{\kappa}}{h_2^2}
\end{aligned}$$

Функции $\hat{G}, \hat{V}, \hat{T}$, составляющие решение на верхнем слое, ищутся соответственно как решение двух систем линейных уравнений:

$$\begin{cases} A^{gv} \begin{pmatrix} \hat{G} \\ \hat{\mathbf{V}} \end{pmatrix} = \begin{pmatrix} B_1 \\ B_2 \end{pmatrix} \\ A^t \hat{T} = B_t \end{cases},$$

где матрица A^{gv} является девятидиагональной и умножается на вектор

$$(\hat{G}, \hat{\mathbf{V}}) = (G_{00}, V_{100}, V_{200}, \dots, G_{M_1 0}, V_{1M_1 0}, V_{2M_1 0}, \dots, G_{M_1 M_2}, V_{1M_1 M_2}, V_{2M_1 M_2}),$$

а матрица A^t является пятидиагональной и умножается на вектор

$$\hat{T} = (T_{00}, T_{10}, \dots, T_{M_1 0}, T_{01}, T_{11}, \dots, T_{M_1 1}, \dots, T_{M_1 M_2}).$$

Сначала решается уравнение на G, V , в котором с нижнего временного слоя будут браться значения T . Далее, используя уже вычисленные значения \hat{G}, \hat{V} , ищем решение уравнения на T .

Оба уравнения будут иметь единственное решение т.к. матрица A^t представляется в виде: $A^t = c_v E + c_v A_1^t + \tilde{\kappa} A_2^t$, где A_1^t - кососимметрическая матрица, A_2^t - матрица разностного оператора второй производной в двумерном случае. Таким образом выполнится условие: $(A^t x, x) = (E x, x) + c_v (A_1^t x, x) + \tilde{\kappa} (A_2^t x, x) \geq (E x, x) > 0, \forall x \neq 0$. Матрица A^{gv} имеет, с некоторыми усложнениями, аналогичный матрице A^t вид.

3. Отладочный тест

Для отладки программы, реализующей разностную схему, проверим её на наличие ошибок с помощью задачи, имеющей точное гладкое решение. Здесь и далее расчёты проводятся в области $\Omega = \Omega_{00} \cup \Omega_{10} \cup \Omega_{20} \cup \Omega_{11} \cup \Omega_{21}$.

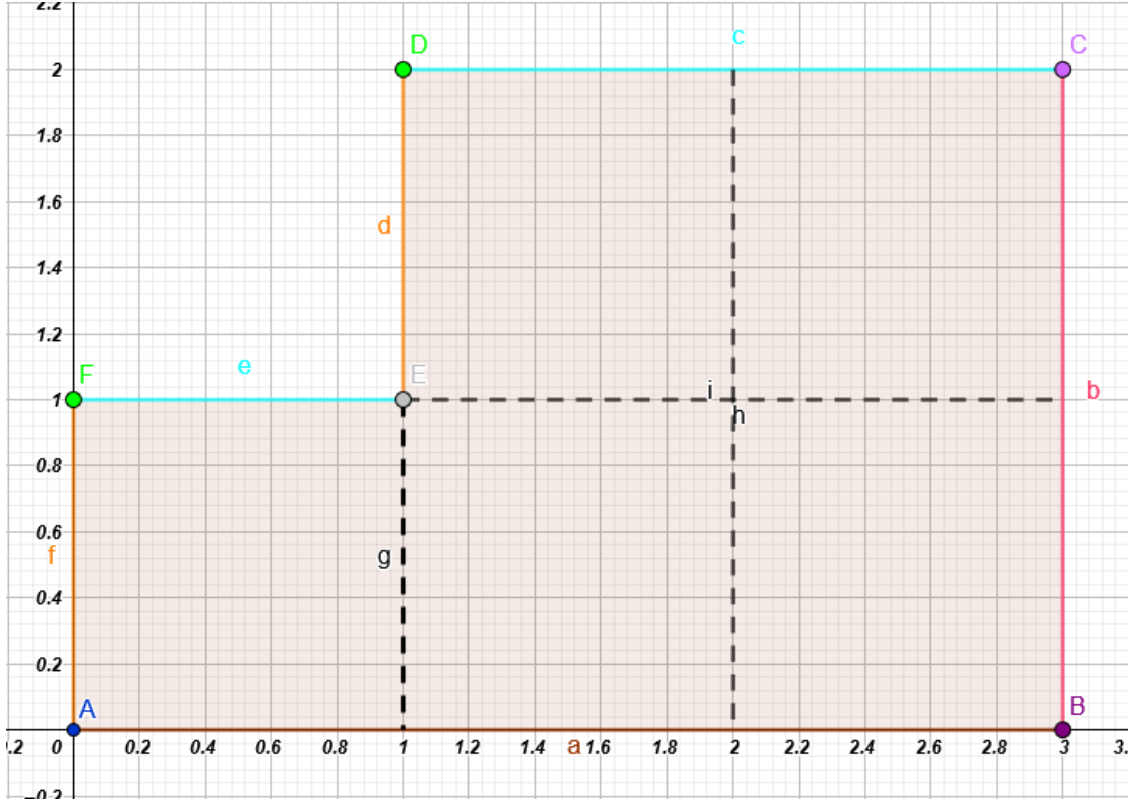


рис.1

На рисунке сплошные отрезки разных цветов соответствуют разным типам границ, а вершины разных цветов - различным типам угловых узлов.

Гладкие функции u_1 , u_2 , g , θ , использовавшиеся для отладки программы:

$$u_1(t, x_1, x_2) = \sin(2\pi x_1) \sin(2\pi x_2) e^t$$

$$u_2(t, x_1, x_2) = \sin(2\pi x_1) \sin(2\pi x_2) e^{-t}$$

$$g(t, x_1, x_2) = \log((\cos(2\pi x_1) + \frac{3}{2})(\sin(2\pi x_2) + \frac{3}{2})e^t)$$

$$\theta(t, x_1, x_2) = (\cos(3\pi x_1) + \frac{3}{2})(\sin(3\pi x_2) + \frac{3}{2})e^t$$

Соответственно, к правым частям уравнений добавляются следующие выражения:

$$1. \quad fg = 1 + e^t \sin(2\pi x_1) \sin(2\pi x_2) \frac{-2\pi \sin(2\pi x_1)}{\cos(2\pi x_1) + \frac{3}{2}} + e^{-t} \sin(2\pi x_1) \sin(2\pi x_2) \frac{2\pi \cos(2\pi x_2)}{\sin(2\pi x_2) + \frac{3}{2}} + 2\pi e^t \cos(2\pi x_1) \sin(2\pi x_2) + 2\pi e^{-t} \sin(2\pi x_1) \cos(2\pi x_2)$$

$$\begin{aligned}
2. \quad fu1 = & e^t \sin(2\pi x_1) \sin(2\pi x_2) + \\
& + 2\pi e^{2t} \sin(2\pi x_1) \sin^2(2\pi x_2) \cos(2\pi x_1) + 2\pi \sin(2\pi x_2) \sin^2(2\pi x_1) \cos(2\pi x_2) + \\
& + Re^t \left(\cos(3\pi x_1) + \frac{3}{2} \right) \left(\sin(3\pi x_2) + \frac{3}{2} \right) \frac{-2\pi \sin(2\pi x_1)}{\cos(2\pi x_1) + \frac{3}{2}} + \\
& - 3\pi Re^t \sin(3\pi x_1) \left(\sin(3\pi x_2) + \frac{3}{2} \right) - res,
\end{aligned}$$

$$\begin{aligned}
\text{где } res1 = & \left[-\frac{4}{3} \mu 4\pi^2 e^t \sin(2\pi x_1) \sin(2\pi x_2) - \mu 4\pi^2 e^t \sin(2\pi x_1) \sin(2\pi x_2) + \right. \\
& \left. + \frac{1}{3} \mu 4\pi^2 e^{-t} \cos(2\pi x_1) \cos(2\pi x_2) \right] / res2
\end{aligned}$$

$$res2 = e^{g(t, x_1, x_2)},$$

$$3. \quad ft = res1 - res3/res2 - res4/res2 - res5/res2 + res6,$$

$$\begin{aligned}
\text{где } res1 = & c_v \left[(\cos(3\pi x_1) + 1.5) (\sin(3\pi x_2) + 1.5) e^t - 3\pi \sin(3\pi x_1) (\sin(3\pi x_2) + \right. \\
& \left. 1.5) e^{2t} \sin(2\pi x_1) \sin(2\pi x_2) + 3\pi (\cos(3\pi x_1) + 1.5) \cos(3\pi x_2) \sin(2\pi x_1) \sin(2\pi x_2) \right],
\end{aligned}$$

$$res2 = e^{g(t, x_1, x_2)},$$

$$res3 = -9\pi^2 \kappa e^t \left[\cos(3\pi x_1) \left(\sin(3\pi x_2) + \frac{3}{2} \right) - \left(\cos(3\pi x_1) + \frac{3}{2} \right) \sin(3\pi x_2) \right]$$

$$\begin{aligned}
res4 = & -\frac{2}{3} \mu 4\pi^2 \left[\cos^2(2\pi x_1) \sin^2(2\pi x_2) e^{2t} + \sin^2(2\pi x_1) \cos^2(2\pi x_2) e^{-2t} + \right. \\
& \left. + 2\cos(2\pi x_1) \cos(2\pi x_2) \sin(2\pi x_1) \sin(2\pi x_2) \right]
\end{aligned}$$

$$\begin{aligned}
res5 = & 2\mu 4\pi^2 \left[(\cos(2\pi x_1) \sin(2\pi x_2) e^{2t}) (\cos(2\pi x_1) \sin(2\pi x_2)) + \right. \\
& + (\sin(2\pi x_1) \cos(2\pi x_2) e^{-2t}) (\sin(2\pi x_1) \cos(2\pi x_2)) + \\
& + 0.5 (\cos(2\pi x_1) \sin(2\pi x_2) e^t + \sin(2\pi x_1) \cos(2\pi x_2) e^{-t}) (\cos(2\pi x_1) \sin(2\pi x_2) e^t + \\
& \left. \sin(2\pi x_1) \cos(2\pi x_2) e^{-t}) \right]
\end{aligned}$$

$$res6 = R\theta(t, x_1, x_2) \left[2\pi \cos(2\pi x_1) \sin(2\pi x_2) e^t + 2\pi \sin(2\pi x_1) \cos(2\pi x_2) e^{-t} \right]$$

4. Отладочный тест: результаты в таблицах

В результате работы программы были получены следующие таблицы норм ошибок для различных μ (в каждой ячейке записано 3 числа: первое - норма ошибки в C , второе - норма ошибки в L_2 , третье - время работы программы на данной сетке):

$$\mu = 0.1:$$

Таблица для u_1

$\tau \setminus h_1, h_2$	$h_1 = 0.05000,$ $h_2 = 0.05000$	$h_1 = 0.02500,$ $h_2 = 0.02500$	$h_1 = 0.01250,$ $h_2 = 0.01250$
0.01250	$3.391e - 001$ $2.224e - 001$ $1.572e + 001$	$2.159e - 001$ $1.264e - 001$ $1.760e + 002$	$0.000e + 000$ $0.000e + 000$ $8.310e + 002$
0.00625	$3.164e - 001$ $1.816e - 001$ $2.309e + 001$	$1.095e - 001$ $7.261e - 002$ $1.623e + 002$	$1.081e - 001$ $5.637e - 002$ $2.260e + 003$
0.00313	$3.048e - 001$ $1.670e - 001$ $3.226e + 001$	$8.687e - 002$ $4.920e - 002$ $1.806e + 002$	$5.263e - 002$ $2.988e - 002$ $1.391e + 003$
0.00156	$3.037e - 001$ $1.618e - 001$ $5.411e + 001$	$7.589e - 002$ $3.984e - 002$ $2.700e + 002$	$2.798e - 002$ $1.747e - 002$ $1.643e + 003$

Таблица для u_2

$\tau \setminus h_1, h_2$	$h_1 = 0.05000,$ $h_2 = 0.05000$	$h_1 = 0.02500,$ $h_2 = 0.02500$	$h_1 = 0.01250,$ $h_2 = 0.01250$
0.01250	$7.500e - 002$ $5.556e - 002$ $1.572e + 001$	$4.380e - 002$ $3.040e - 002$ $1.760e + 002$	$0.000e + 000$ $0.000e + 000$ $8.310e + 002$
0.00625	$6.488e - 002$ $4.499e - 002$ $2.309e + 001$	$2.298e - 002$ $1.753e - 002$ $1.623e + 002$	$1.698e - 002$ $1.260e - 002$ $2.260e + 003$
0.00313	$6.835e - 002$ $4.200e - 002$ $3.226e + 001$	$1.830e - 002$ $1.244e - 002$ $1.806e + 002$	$9.000e - 003$ $6.809e - 003$ $1.391e + 003$
0.00156	$6.987e - 002$ $4.112e - 002$ $5.411e + 001$	$1.716e - 002$ $1.049e - 002$ $2.700e + 002$	$5.897e - 003$ $4.208e - 003$ $1.643e + 003$

Таблица для g

$\tau \setminus h_1, h_2$	$h_1 = 0.05000,$ $h_2 = 0.05000$	$h_1 = 0.02500,$ $h_2 = 0.02500$	$h_1 = 0.01250,$ $h_2 = 0.01250$
0.01250	$1.254e + 000$ $4.536e - 001$ $1.572e + 001$	$8.020e - 001$ $2.640e - 001$ $1.760e + 002$	$0.000e + 000$ $0.000e + 000$ $8.310e + 002$
0.00625	$1.225e + 000$ $3.715e - 001$ $2.309e + 001$	$4.160e - 001$ $1.454e - 001$ $1.623e + 002$	$4.470e - 001$ $1.159e - 001$ $2.260e + 003$
0.00313	$1.212e + 000$ $3.504e - 001$ $3.226e + 001$	$3.446e - 001$ $9.449e - 002$ $1.806e + 002$	$2.064e - 001$ $5.991e - 002$ $1.391e + 003$
0.00156	$1.221e + 000$ $3.472e - 001$ $5.411e + 001$	$3.067e - 001$ $7.410e - 002$ $2.700e + 002$	$1.198e - 001$ $3.373e - 002$ $1.643e + 003$

Таблица для θ

$\tau \setminus h_1, h_2$	$h_1 = 0.05000,$ $h_2 = 0.05000$	$h_1 = 0.02500,$ $h_2 = 0.02500$	$h_1 = 0.01250,$ $h_2 = 0.01250$
0.01250	$3.038e + 000$ $1.572e + 000$ $1.572e + 001$	$2.110e + 000$ $7.368e - 001$ $1.760e + 002$	$0.000e + 000$ $0.000e + 000$ $8.310e + 002$
0.00625	$3.023e + 000$ $1.536e + 000$ $2.309e + 001$	$1.203e + 000$ $4.803e - 001$ $1.623e + 002$	$1.199e + 000$ $3.706e - 001$ $2.260e + 003$
0.00313	$2.994e + 000$ $1.546e + 000$ $3.226e + 001$	$7.032e - 001$ $3.890e - 001$ $1.806e + 002$	$6.492e - 001$ $2.057e - 001$ $1.391e + 003$
0.00156	$2.975e + 000$ $1.559e + 000$ $5.411e + 001$	$6.751e - 001$ $3.682e - 001$ $2.700e + 002$	$3.396e - 001$ $1.332e - 001$ $1.643e + 003$

$\mu = 0.01$: Таблица для u_1

$\tau \setminus h_1, h_2$	$h_1 = 0.05000,$ $h_2 = 0.05000$	$h_1 = 0.02500,$ $h_2 = 0.02500$	$h_1 = 0.01250,$ $h_2 = 0.01250$
0.01250	$4.906e - 001$ $3.189e - 001$ $1.709e + 001$	$2.310e - 001$ $1.111e - 001$ $9.365e + 001$	$0.000e + 000$ $0.000e + 000$ $4.798e + 002$
0.00625	$4.810e - 001$ $2.303e - 001$ $2.002e + 001$	$1.996e - 001$ $6.532e - 002$ $8.678e + 001$	$1.550e - 001$ $5.198e - 002$ $7.202e + 002$
0.00313	$4.906e - 001$ $2.091e - 001$ $3.641e + 001$	$1.932e - 001$ $4.914e - 002$ $1.289e + 002$	$7.405e - 002$ $2.743e - 002$ $6.707e + 002$
0.00156	$5.180e - 001$ $1.910e - 001$ $5.986e + 001$	$1.922e - 001$ $4.474e - 002$ $1.921e + 002$	$4.634e - 002$ $1.619e - 002$ $8.967e + 002$

Таблица для u_2

$\tau \setminus h_1, h_2$	$h_1 = 0.05000,$ $h_2 = 0.05000$	$h_1 = 0.02500,$ $h_2 = 0.02500$	$h_1 = 0.01250,$ $h_2 = 0.01250$
0.01250	$9.064e - 002$ $8.098e - 002$ $1.709e + 001$	$5.769e - 002$ $2.876e - 002$ $9.365e + 001$	$0.000e + 000$ $0.000e + 000$ $4.798e + 002$
0.00625	$7.414e - 002$ $6.253e - 002$ $2.002e + 001$	$3.915e - 002$ $1.903e - 002$ $8.678e + 001$	$3.235e - 002$ $1.332e - 002$ $7.202e + 002$
0.00313	$7.533e - 002$ $5.909e - 002$ $3.641e + 001$	$3.366e - 002$ $1.524e - 002$ $1.289e + 002$	$1.817e - 002$ $7.562e - 003$ $6.707e + 002$
0.00156	$8.258e - 002$ $5.682e - 002$ $5.986e + 001$	$3.368e - 002$ $1.394e - 002$ $1.921e + 002$	$1.097e - 002$ $4.905e - 003$ $8.967e + 002$

Таблица для g

$\tau \setminus h_1, h_2$	$h_1 = 0.05000,$ $h_2 = 0.05000$	$h_1 = 0.02500,$ $h_2 = 0.02500$	$h_1 = 0.01250,$ $h_2 = 0.01250$
0.01250	$8.337e + 000$ $1.030e + 000$ $1.709e + 001$	$4.300e + 000$ $4.793e - 001$ $9.365e + 001$	$0.000e + 000$ $0.000e + 000$ $4.798e + 002$
0.00625	$7.367e + 000$ $9.047e - 001$ $2.002e + 001$	$2.547e + 000$ $2.873e - 001$ $8.678e + 001$	$1.199e + 000$ $1.558e - 001$ $7.202e + 002$
0.00313	$7.884e + 000$ $9.019e - 001$ $3.641e + 001$	$1.772e + 000$ $2.087e - 001$ $1.289e + 002$	$6.096e - 001$ $8.368e - 002$ $6.707e + 002$
0.00156	$8.341e + 000$ $9.467e - 001$ $5.986e + 001$	$1.508e + 000$ $1.842e - 001$ $1.921e + 002$	$4.192e - 001$ $5.282e - 002$ $8.967e + 002$

Таблица для θ

$\tau \setminus h_1, h_2$	$h_1 = 0.05000,$ $h_2 = 0.05000$	$h_1 = 0.02500,$ $h_2 = 0.02500$	$h_1 = 0.01250,$ $h_2 = 0.01250$
0.01250	$2.744e + 000$ $1.333e + 000$ $1.709e + 001$	$1.757e + 000$ $5.688e - 001$ $9.365e + 001$	$0.000e + 000$ $0.000e + 000$ $4.798e + 002$
0.00625	$2.837e + 000$ $1.409e + 000$ $2.002e + 001$	$8.977e - 001$ $3.837e - 001$ $8.678e + 001$	$1.238e + 000$ $2.883e - 001$ $7.202e + 002$
0.00313	$2.861e + 000$ $1.457e + 000$ $3.641e + 001$	$6.701e - 001$ $3.445e - 001$ $1.289e + 002$	$5.822e - 001$ $1.523e - 001$ $6.707e + 002$
0.00156	$2.874e + 000$ $1.490e + 000$ $5.986e + 001$	$6.542e - 001$ $3.481e - 001$ $1.921e + 002$	$2.805e - 001$ $1.000e - 001$ $8.967e + 002$

$\mu = 0.001$: Таблица для u_1

$\tau \setminus h_1, h_2$	$h_1 = 0.05000,$ $h_2 = 0.05000$	$h_1 = 0.02500,$ $h_2 = 0.02500$	$h_1 = 0.01250,$ $h_2 = 0.01250$
0.01250	$8.488e - 001$ $9.445e - 001$ $2.531e + 001$	$0.000e + 000$ $0.000e + 000$ $5.190e + 002$	$0.000e + 000$ $0.000e + 000$ $1.335e + 003$
0.00625	$8.684e - 001$ $9.625e - 001$ $3.565e + 001$	$2.794e - 001$ $7.005e - 002$ $7.374e + 001$	$2.119e - 001$ $6.755e - 002$ $5.373e + 002$
0.00313	$8.769e - 001$ $9.704e - 001$ $6.287e + 001$	$2.180e - 001$ $4.772e - 002$ $1.037e + 002$	$9.314e - 002$ $3.229e - 002$ $4.528e + 002$
0.00156	$8.755e - 001$ $9.677e - 001$ $1.183e + 002$	$1.882e - 001$ $4.319e - 002$ $1.859e + 002$	$6.364e - 002$ $1.686e - 002$ $7.523e + 002$

Таблица для u_2

$\tau \setminus h_1, h_2$	$h_1 = 0.05000,$ $h_2 = 0.05000$	$h_1 = 0.02500,$ $h_2 = 0.02500$	$h_1 = 0.01250,$ $h_2 = 0.01250$
0.01250	$2.215e - 001$ $2.428e - 001$ $2.531e + 001$	$0.000e + 000$ $0.000e + 000$ $5.190e + 002$	$0.000e + 000$ $0.000e + 000$ $1.335e + 003$
0.00625	$2.189e - 001$ $2.414e - 001$ $3.565e + 001$	$5.841e - 002$ $2.495e - 002$ $7.374e + 001$	$5.940e - 002$ $1.919e - 002$ $5.373e + 002$
0.00313	$2.177e - 001$ $2.406e - 001$ $6.287e + 001$	$5.782e - 002$ $1.996e - 002$ $1.037e + 002$	$3.529e - 002$ $1.065e - 002$ $4.528e + 002$
0.00156	$2.159e - 001$ $2.382e - 001$ $1.183e + 002$	$5.177e - 002$ $1.820e - 002$ $1.859e + 002$	$1.938e - 002$ $6.411e - 003$ $7.523e + 002$

Таблица для g

$\tau \setminus h_1, h_2$	$h_1 = 0.05000,$ $h_2 = 0.05000$	$h_1 = 0.02500,$ $h_2 = 0.02500$	$h_1 = 0.01250,$ $h_2 = 0.01250$
0.01250	$5.199e + 001$ $3.420e + 000$ $2.531e + 001$	$0.000e + 000$ $0.000e + 000$ $5.190e + 002$	$0.000e + 000$ $0.000e + 000$ $1.335e + 003$
0.00625	$9.421e + 001$ $5.210e + 000$ $3.565e + 001$	$6.330e + 000$ $4.978e - 001$ $7.374e + 001$	$4.808e + 000$ $3.083e - 001$ $5.373e + 002$
0.00313	$1.335e + 002$ $7.121e + 000$ $6.287e + 001$	$3.287e + 000$ $2.901e - 001$ $1.037e + 002$	$2.279e + 000$ $1.626e - 001$ $4.528e + 002$
0.00156	$1.623e + 002$ $8.528e + 000$ $1.183e + 002$	$2.378e + 000$ $2.365e - 001$ $1.859e + 002$	$1.161e + 000$ $8.999e - 002$ $7.523e + 002$

Таблица для θ

$\tau \setminus h_1, h_2$	$h_1 = 0.05000,$ $h_2 = 0.05000$	$h_1 = 0.02500,$ $h_2 = 0.02500$	$h_1 = 0.01250,$ $h_2 = 0.01250$
0.01250	$3.850e + 000$ $2.683e + 000$ $2.531e + 001$	$0.000e + 000$ $0.000e + 000$ $5.190e + 002$	$0.000e + 000$ $0.000e + 000$ $1.335e + 003$
0.00625	$4.111e + 000$ $2.822e + 000$ $3.565e + 001$	$1.388e + 000$ $4.098e - 001$ $7.374e + 001$	$1.662e + 000$ $3.356e - 001$ $5.373e + 002$
0.00313	$4.203e + 000$ $2.859e + 000$ $6.287e + 001$	$8.085e - 001$ $3.561e - 001$ $1.037e + 002$	$8.553e - 001$ $1.715e - 001$ $4.528e + 002$
0.00156	$4.224e + 000$ $2.861e + 000$ $1.183e + 002$	$6.828e - 001$ $3.573e - 001$ $1.859e + 002$	$4.267e - 001$ $1.058e - 001$ $7.523e + 002$

Из таблиц можно сделать вывод, что решение РС сходится с регламентированной скоростью $O(\tau + h^2)$. Также из таблиц видно, что из-за отчасти явного характера схемы существуют некоторые ограничения на шаги сетки по времени и по пространству, однако для получения желаемой точности решения, можно при фиксированном шаге h по пространству достаточно существенно уменьшать шаг по времени τ , что лишь линейно повлияет на время работы программы.

5. Вложенные сетки

Для получения ответа на вопрос о точности решения, полученного на сетке $Q_{\tau, \mathbf{h}}$, в случае, когда точное решение неизвестно, используют расчёты на вложенных сетках $Q_{\tau/2^k, \mathbf{h}/2^k}$. В данном случае точная функция известна, и вышеуказанные таблицы позволяют нам судить о том, что сходимость РС есть, однако в качестве дополнительной проверки, произведём расчёты на вложенных сетках.

Ниже в таблицах, в столбцах 1, 2, 3 представлены значения норм ошибок решения, полученного на сетках $Q_{\tau/2, \mathbf{h}/2}$, $Q_{\tau/4, \mathbf{h}/4}$ и $Q_{\tau/8, \mathbf{h}/8}$ соответственно. В первом столбце представлены нормы ошибок для оригинальной сетки $Q_{\tau, \mathbf{h}}$.

$\mu = 0.1$: Таблица для u_1

$k \setminus \tau, h$	1	2	original
$\tau = 0.01250,$ $h = 0.05000$	$2.450e - 001$ $6.677e - 002$	$3.058e - 001$ $8.518e - 002$	$3.391e - 001$ $2.227e - 001$
$\tau = 0.00625,$ $h = 0.02500$	$7.020e - 002$ $1.923e - 002$	$9.343e - 002$ $2.636e - 002$	$1.095e - 001$ $7.263e - 002$

Таблица для u_2

$k \setminus \tau, h$	1	2	original
$\tau = 0.01250,$ $h = 0.05000$	$5.387e - 002$ $1.699e - 002$	$6.729e - 002$ $2.161e - 002$	$7.500e - 002$ $5.563e - 002$
$\tau = 0.00625,$ $h = 0.02500$	$1.437e - 002$ $4.833e - 003$	$1.915e - 002$ $6.499e - 003$	$2.298e - 002$ $1.754e - 002$

Таблица для g

$k \setminus \tau, h$	1	2	original
$\tau = 0.01250,$ $h = 0.05000$	$8.546e - 001$ $1.313e - 001$	$1.097e + 000$ $1.672e - 001$	$1.254e + 000$ $4.541e - 001$
$\tau = 0.00625,$ $h = 0.02500$	$2.513e - 001$ $3.639e - 002$	$3.440e - 001$ $5.052e - 002$	$4.160e - 001$ $1.455e - 001$

Таблица для θ

$k \setminus \tau, h$	1	2	original
$\tau = 0.01250,$ $h = 0.05000$	$2.424e + 000$ $5.240e - 001$	$2.860e + 000$ $6.339e - 001$	$3.038e + 000$ $1.574e + 000$
$\tau = 0.00625,$ $h = 0.02500$	$6.955e - 001$ $1.370e - 001$	$9.408e - 001$ $1.777e - 001$	$1.203e + 000$ $4.805e - 001$

Как видно из таблиц, нормы ошибок на вложенных сетках оценивают нормы ошибок, полученных на точном решении, снизу, причём эта оценка улучшается с возрастанием параметра k , в чём и требовалось убедиться.

6. Задача протекания

Постановка задачи

Напомним, что расчёты производятся в области $\Omega = \Omega_{00} \cup \Omega_{10} \cup \Omega_{20} \cup \Omega_{11} \cup \Omega_{21}$ (рис.2). В область Ω через границу AF набегает поток, имеющий отличные от газа внутри области характеристики: плотность, скорость и температуру. Отметим, что вследствие этого несколько меняются значения статусов границ, подробнее об этом будет изложено ниже.

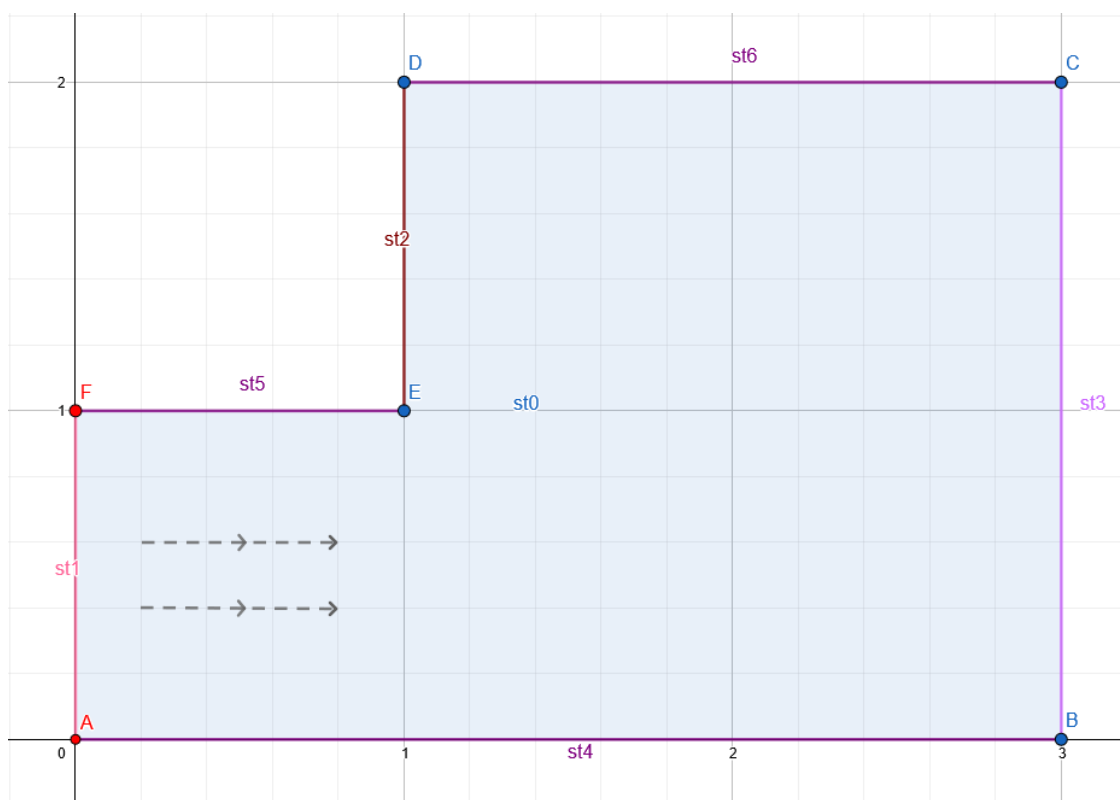


рис.2

Важным в данном случае является изменение начальных и краевых условий:

1. $\mathbf{u}(0, \mathbf{x}) = g(0, \mathbf{x}) = 0,$

2. Характеристики набегающего потока

- (a) $u_1(t, 0, x_2) = \tilde{v} = const > 0, u_2(t, 0, x_2) = 0,$

- (b) $g(t, 0, x_2) = \tilde{g} = const > 1,$

- (c) $\theta(t, 0, x_2) = \tilde{\theta} = const > 293(K), 0 \leq x_2 \leq 1$

3. (a) $u_1(t, 0, x_2) = 0, u_2(t, 0, x_2) = 0,$

- (b) $g(t, 0, x_2) = 0,$

- (c) $\theta(t, 0, x_2) = 293(K), 1 < x_2 \leq 2$

4. $\frac{\partial u_1}{\partial x_1}|_{x_1=X_1} = 0$

5. $u_1(t, x_1, X_2) = 0, u_1(t, x_1, 0) = 0, u_2(t, \mathbf{X}) = 0, u_2(t, x_1, 0) = 0,$

6. $\frac{\partial \theta}{\partial \vec{n}}|_{x_2=0, \mathbf{x}=\mathbf{X}} = 0$ - характеризует теплоизолированность "верхних" и "нижних" стенок, стабилизацию температуры на правой границе.

Таким образом, левые границы области становятся различными по своей сути - через границу AF газ втекает, а на границе DE выполняются условия прилипания.

Вычисления будут производиться до момента времени $N\tau$, для которого $\|(G^{N\tau}, \mathbf{V}^{N\tau}, T^{N\tau}) - (G^{n_{st}}, \mathbf{V}^{n_{st}}, T^{n_{st}})\|_C < \epsilon$, где ϵ определяется опытным путём. Ввиду изменившихся начально-краевых условий, схема также претерпит модификации:

1. Из (4),(6):

$$\hat{V}_{1M_1, m_2} - \hat{V}_{1M_1-1, m_2} = 0, m_2 = 0, ..M_2$$

$$\hat{T}_{M_1, m_2} - \hat{T}_{M_1-1, m_2} = 0, m_2 = 0, ..M_2$$

$$\hat{T}_{m_1, 1} - \hat{T}_{m_1, 0} = 0, m_1 = 0, ..M_1$$

$$\hat{T}_{m_1, M_2} - \hat{T}_{m_1, M_2-1} = 0, m_1 = 0, ..M_1$$

2. Из условий (2),(4) следует исчезновение уравнения (2) и замена разностного уравнения (3):

$$G_t + \left(V_{1M_1, m_2} \frac{\hat{G}_{M_1, m_2} - \hat{G}_{M_1-1, m_2}}{h_1} \right) = 0, m_2 = 0, ..M_2$$

7. Задача протекания: результаты в таблицах

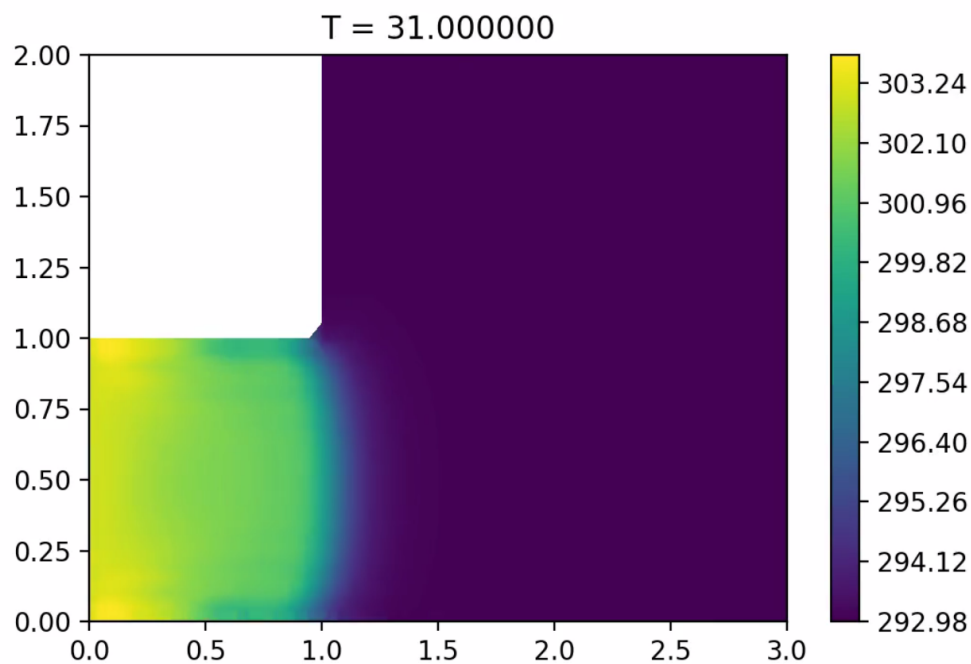
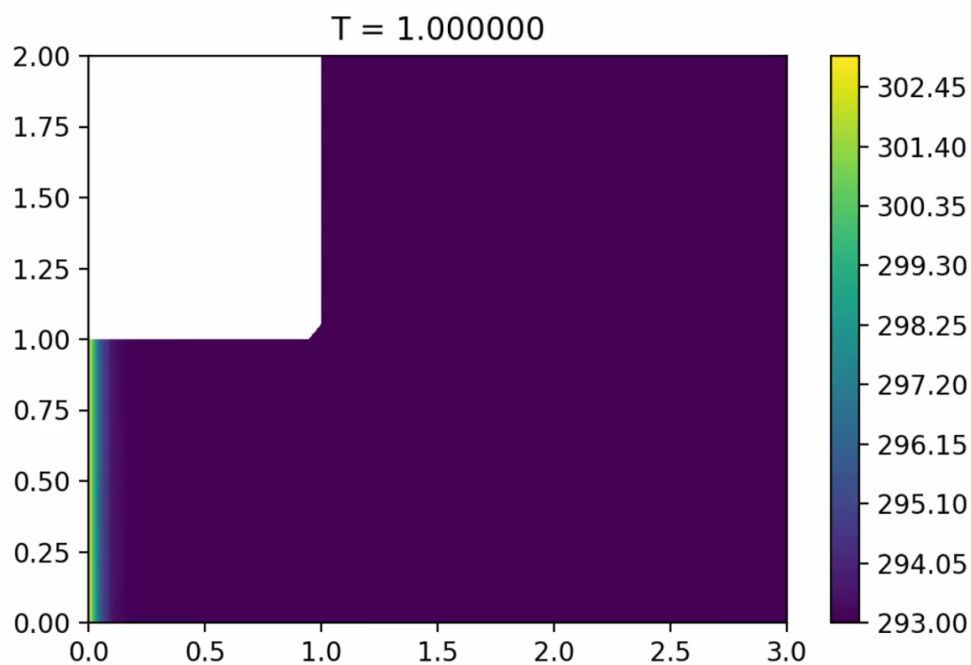
Таблицы с временем стабилизации функций, $\tau = 0.0125$, $\mathbf{h} = 0.025$

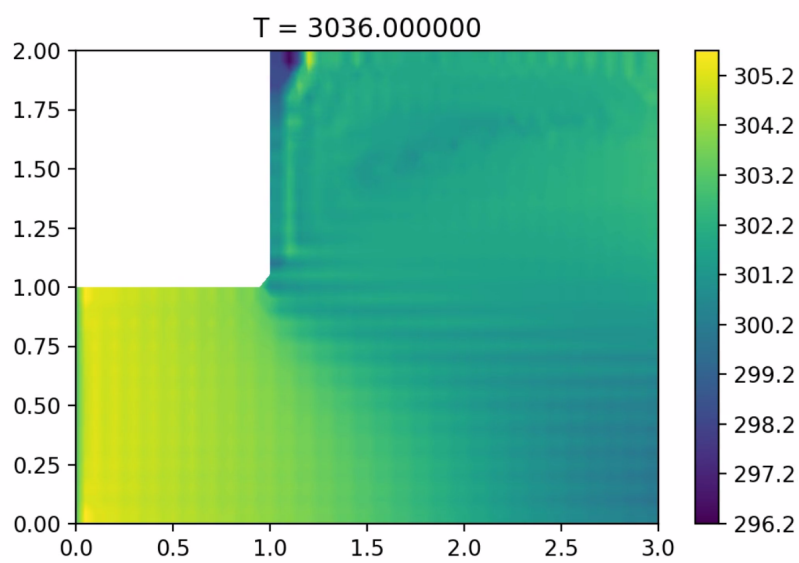
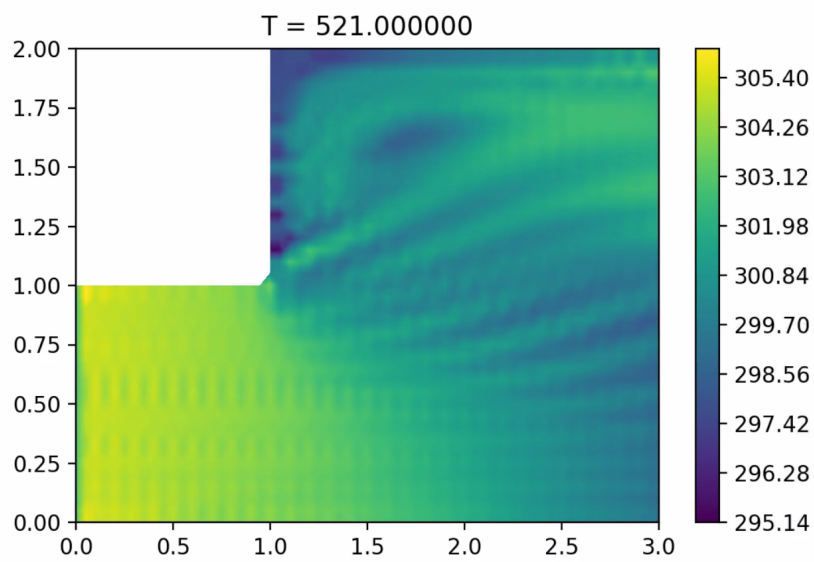
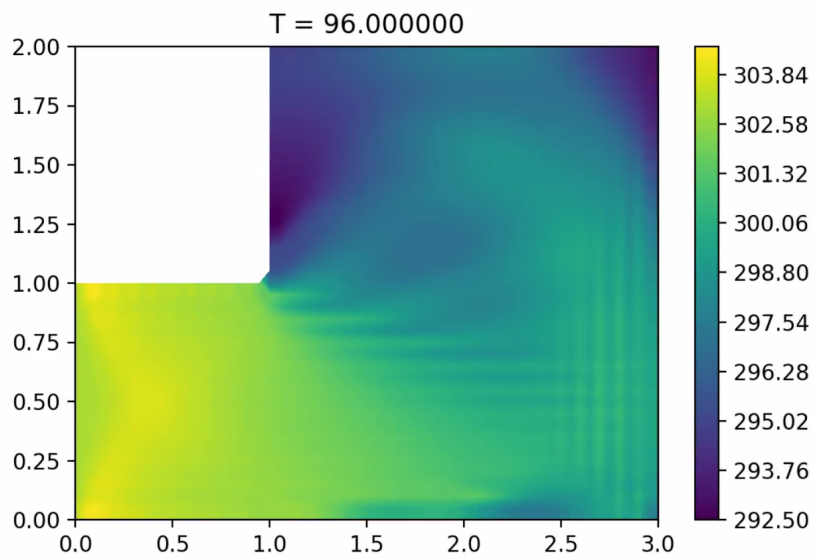
$$\mu = 0.1, \epsilon = 0.1$$

	$\tilde{v} \setminus \tilde{g}$	0.5	1	1.5	2
$\tilde{\theta} = 293$	1	$5.026e+001$	$4.401e+001$	$6.276e+001$	$1.878e+002$
	2	$1.901e+001$	$5.026e+001$	$0.000e+000$	$3.754e+002$
$\tilde{\theta} = 303$	1	$7.526e+001$	$8.776e+001$	$6.276e+001$	$5.651e+001$
	2	$8.776e+001$	$7.526e+001$	$7.526e+001$	$5.026e+001$
$\tilde{\theta} = 313$	1	$1.128e+002$	$1.253e+002$	$1.253e+002$	$2.503e+002$
	2	$1.253e+002$	$1.878e+002$	$0.000e+000$	$3.754e+002$

Из таблицы прослеживается, что время стабилизации возрастает с увеличением $\tilde{\theta}$ (температуры набегающего потока). Также время стабилизации преимущественно возрастает с ростом значения \tilde{g} (логарифма плотности набегающего потока). Чёткой зависимости от \tilde{v} (скорости набегающего потока) не прослеживается, хотя в большинстве случаев видно, что с увеличением этого параметра время стабилизации увеличивается.

Ниже приведены кадры из созданной в рамках данной курсовой видео-модели течения газа. На этих кадрах изображены тепловые карты газа в области, однако эти карты также наглядно показывают по какой траектории движется газ в области.





8. Заключение

По результатам, полученным в ходе работы, можно сделать вывод, что описанная РС может быть использована для моделирования нестационарного течения газа в областях непрямоугольной формы, причём получаемые результаты обладают высоким порядком точности $O(\tau + h^2)$. Конечно, в силу отчасти явного характера РС (при подсчёте скорости-плотности используются значения температуры с нижнего слоя) существуют ограничения на шаги τ , h . Помимо прочего, для задач протекания, по мнению автора, требуется более педантичный подход к физической подоплёке процесса. Например, численные эксперименты показали, что при сильно малых значениях параметра вязкости ($\mu = 10^{-4}$) решение в задаче протекания не выходит на стационар: в видео-моделях фиксируются, после некоторого времени протекания, внезапные всплески значений плотности и температуры. Чем объяснить такие всплески - недостатками схемы или же реальными физическими процессами - пока неясно. Однако поставленную задачу можно считать выполненной.

Список литературы

- [1] Попов А.В., Численное моделирование нестационарного течения газа с использованием неявных разностных схем, 2022;
- [2] Бахвалов Н.С., Жидков Н.П., Кобельков Г.М., Численные методы, 2011;